

(19) 日本国特許庁(JP)

(12) 公開特許公報(A)

(11) 特許出願公開番号

特開2007-264035

(P2007-264035A)

(43) 公開日 平成19年10月11日(2007.10.11)

(51) Int. Cl.		F I		テーマコード (参考)
<b>G 1 O F</b> 1/02 (2006.01)		G 1 O F	1/02 B	5 D 3 7 8
<b>G 1 O H</b> 1/00 (2006.01)		G 1 O H	1/00 1 O 1 B	

審査請求 未請求 請求項の数 3 O L (全 25 頁)

(21) 出願番号 特願2006-85258 (P2006-85258)  
 (22) 出願日 平成18年3月27日 (2006.3.27)

(71) 出願人 000004075  
 ヤマハ株式会社  
 静岡県浜松市中区中沢町10番1号  
 (74) 代理人 100077539  
 弁理士 飯塚 義仁  
 (72) 発明者 藤原 祐二  
 静岡県浜松市中区中沢町10番1号 ヤマハ株式会社内  
 Fターム(参考) 5D378 MM82 MM90

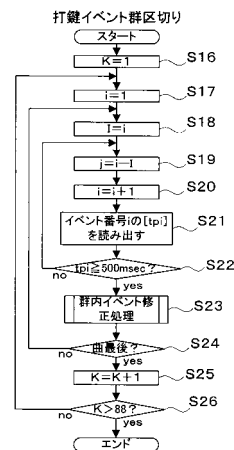
(54) 【発明の名称】 鍵盤楽器

(57) 【要約】

【課題】自動演奏ピアノにおいて、例えば連打打鍵演奏の部分など、自機で再生が不得手な部分を良好に再生できるようにする。

【解決手段】自動演奏ピアノは、1曲分の演奏情報から或る鍵1について全ての打鍵イベントを抽出する。該或る鍵1について抽出された複数の打鍵イベントのうち、連続する複数の打鍵イベントを一群の打鍵イベント群に含めるかどうかを、直前の打鍵イベントjから当該打鍵イベントiまでの時間間隔に基づき判断し(ステップS16~S22)、所定時間以上であれば、打鍵イベントiは他の打鍵イベント群に属するものと判断し、該直前イベントjを含む打鍵イベント群を区切る。ステップS22は、打鍵イベント群内において、各打鍵イベントの少なくとも1つの楽音要素を揃えるよう修正を行なう。これにより、該打鍵イベント群内の楽音要素の不揃いを揃え、再生不得手な演奏も良好に再生できる。

【選択図】 図7



## 【特許請求の範囲】

## 【請求項 1】

鍵と、

前記鍵を駆動するための駆動手段と、

打鍵イベントのシーケンスからなる演奏情報を供給するための供給手段と、

前記演奏情報を構成する打鍵イベントの中から、同一鍵に対応する打鍵イベントを 1 乃至複数抽出する抽出手段と、

前記抽出された 1 乃至複数の打鍵イベントのうち、連続して発生する複数の打鍵イベントを一群の打鍵イベント群に含めるかどうかを所定の閾値に基づき判断する判断手段と、

前記判断手段により一群の打鍵イベント群に含めるよう判断された複数の打鍵イベントからなる打鍵イベント群内において、各打鍵イベントの少なくとも 1 つの楽音要素を揃えるよう修正を行なう修正手段と、

前記修正手段により修正された打鍵イベントに基づき、該打鍵イベントに対応する鍵を駆動するために前記駆動手段を制御する制御手段と  
を具えることを特徴とする鍵盤楽器。

10

## 【請求項 2】

鍵と、

前記鍵を駆動するための駆動手段と、

打鍵イベントのシーケンスからなる演奏情報を供給するための供給手段と、

前記演奏情報を構成する打鍵イベントの中から、同一鍵に対応する打鍵イベントを 1 乃至複数抽出する抽出手段と、

前記抽出された 1 乃至複数の打鍵イベントのそれぞれに基づき、駆動されるべき鍵の打鍵運動を規定するために、少なくとも該鍵の動きの位置成分の時間的変遷を表す軌道データを 1 乃至複数作成する軌道データ作成手段と、

前記作成された 1 乃至複数の軌道データのうち、連続して発生する複数の軌道データを一群の軌道データ群に含めるかどうかを所定の閾値に基づき判断する判断手段と、

前記判断手段により一群の軌道データ群に含めるよう判断された複数の軌道データからなる軌道データ群内において、各軌道データの少なくとも 1 つの楽音要素を揃えるよう修正を行なう修正手段と、

前記修正手段により修正された軌道データに基づき、該軌道データに対応する鍵を駆動するために前記駆動手段を制御する制御手段と  
を具えることを特徴とする鍵盤楽器。

20

30

## 【請求項 3】

前記抽出手段において、抽出した同一鍵に対応する 1 乃至複数の打鍵イベントを、打鍵イベント発生順に記憶する打鍵イベント記憶手段を更に具えることを特徴とする請求項 1 又は 2 に記載の鍵盤楽器。

## 【発明の詳細な説明】

## 【技術分野】

## 【0001】

この発明は、鍵を自動的に駆動する機構を備えた鍵盤楽器に関し、特に該鍵盤楽器における連打演奏など、再生の難しい演奏に関する再生性能の改良に関する。

40

## 【背景技術】

## 【0002】

自動演奏ピアノにおいては、ピアノの各鍵に対応して設けられたソレノイドを演奏情報に基づき選択的に励磁することで、各ソレノイドに対応する鍵を押鍵駆動し、該押鍵駆動に応じて当該鍵に対応するハンマが打弦運動することで、当該ハンマに対応する弦を打弦する。なお、この明細書において、時間経過に対する鍵の位置変化を「軌道」と言う。自動演奏ピアノにおいては、演奏情報に基づき鍵の動きを規定する軌道データを作成し、該軌道データに基づき鍵の動きの制御（つまりソレノイドの駆動制御）することで、演奏情報に基づく自動演奏を行なうことが従来から知られている。

50

## 【0003】

ピアノ奏法の一つとして、鍵をエンド位置に押し切る前に離鍵を開始する、或いは、離鍵途中から（鍵をレスト位置に戻しきらずに）次の押鍵に入る奏法、所謂ハーフストローク奏法がある。従来の自動演奏ピアノにおいて、ハーフストローク奏法を実現するための技術の一例として、押鍵時の鍵軌道（押鍵軌道）と離鍵時の鍵軌道（離鍵軌道）から両軌道の交差位置を調べて、両軌道が鍵のストロークエンド位置の手前で交差している場合には、押鍵途中から離鍵動作を或いは離鍵途中から押鍵動作を行なわせる技術があった（例えば、下記特許文献1を参照）。

【特許文献1】特許第3541411号公報

## 【0004】

また、ハーフストローク奏法は、同一鍵を連続して押鍵する演奏（連打演奏）を行なう際に利用されることがある。自動演奏ピアノにおいて連打演奏を行なう場合には、連打演奏のノートオン（発音指示）の周期に対してハンマの打弦動作が追従できず、正しい発音が行なわれなくなる現象、所謂「音抜け」等の不具合が生じ易い。そこで、連打演奏の性能を向上させる技術として、例えば、再生すべきノートオン（発音指示）データによって指示される発音強度に対応する押鍵速度よりも速い押鍵を行なわせること、或いは、ノートオフ（消音指示）データによって指示されるタイミングよりも離鍵タイミングを早めることで、連続的な打弦（ハンマの往復動作）に要する時間を短縮する方法があった（例えば、下記特許文献2参照）。

【特許文献2】特許第3551507号公報

## 【0005】

周知の通りアップライトピアノとグランドピアノとは各々に具わるアクション機構の構造やその動作特性が異なっている。グランドピアノのアクション機構は連打性能に優れており、速い連打演奏にも対応できる（概ね13Hz程度の周期で繰り返される連打まで対応可能と言われている）。一方、アップライトピアノのアクション機構は、連打性能についてグランドピアノに対して劣っており、速い連打演奏には追従できない（概ね、8Hz程度の周期で繰り返される連打までしか対応できないと言われている）。

## 【0006】

ところで、自動演奏ピアノにおいて再生する演奏情報は、自機において行なわれたピアノ演奏を記録したデータに限らない。例えば、アップライトピアノ型自動演奏ピアノで収録した演奏情報をグランドピアノ型自動演奏ピアノで再生する場合や、逆に、グランドピアノ型自動演奏ピアノで収録した演奏情報をアップライトピアノ型自動演奏ピアノで再生する場合など他の異なる種類のピアノで収録した演奏情報を再生するケース、或いは、ピアノ以外の機器で記録乃至作成された演奏情報を再生するケースなどが考えられる。

## 【0007】

例えば、グランドピアノで収録した演奏情報をアップライトピアノ型の自動演奏ピアノで再生する場合、アップライトピアノに具わるアクション機構は、グランドピアノのアクション機構に比べて連打性能が劣るため、高速な連打演奏等に追従できず、良好な再生を行なうことができなかつた。すなわち、従来の自動演奏ピアノにおいて、種類が異なる機器で収録された演奏情報に対して、自機で再生が不得手な部分を良好に再生できないという不都合があった。

## 【0008】

上記の不都合について、前記特許文献1においては、演奏情報を収録した装置と、該演奏情報を再生する装置との機種の違いについて考慮していない。また、前記特許文献2においては、演奏情報の収録装置と再生装置の機種の違いを配慮した記載が見られるものの、この技術では、速い連打に対応させようとすると、再生される連打演奏の打弦タイミングや打弦速度が元の演奏情報から大きくズレてしまい、ピアノ演奏の再現性が損なわれるという不都合があった。更に、上記特許文献1乃至2に代表される従来の技術では、特にアップライトピアノにおける速い連打演奏の再生性能が不十分であった。

【発明の開示】

10

20

30

40

50

## 【発明が解決しようとする課題】

## 【0009】

この発明は上述の点に鑑みてなされたもので、自動的に鍵盤を駆動して演奏を行う鍵盤楽器において、例えば連打打鍵演奏の部分など、自機で再生が不得手な部分を良好に再生できるようにした鍵盤楽器を提供しようとするものである。

## 【課題を解決するための手段】

## 【0010】

この発明は、鍵と、前記鍵を駆動するための駆動手段と、打鍵イベントのシーケンスからなる演奏情報を供給するための供給手段と、前記演奏情報を構成する打鍵イベントの中から、同一鍵に対応する打鍵イベントを1乃至複数抽出する抽出手段と、前記抽出された1乃至複数の打鍵イベントのうち、連続して発生する複数の打鍵イベントを一群の打鍵イベント群に含めるかどうかを所定の閾値に基づき判断する判断手段と、前記判断手段により一群の打鍵イベント群に含めるよう判断された複数の打鍵イベントからなる打鍵イベント群内において、各打鍵イベントの少なくとも1つの楽音要素を揃えるよう修正を行なう修正手段と、前記修正手段により修正された打鍵イベントに基づき、該打鍵イベントに対応する鍵を駆動するために前記駆動手段を制御する制御手段とを具える鍵盤楽器である。

10

## 【0011】

また、この発明は、鍵と、前記鍵を駆動するための駆動手段と、打鍵イベントのシーケンスからなる演奏情報を供給するための供給手段と、前記演奏情報を構成する打鍵イベントの中から、同一鍵に対応する打鍵イベントを1乃至複数抽出する抽出手段と、前記抽出された1乃至複数の打鍵イベントのそれぞれに基づき、駆動されるべき鍵の打鍵運動を規定するために、少なくとも該鍵の動きの位置成分の時間的変遷を表す軌道データを1乃至複数作成する軌道データ作成手段と、前記作成された1乃至複数の軌道データのうち、連続して発生する複数の軌道データを一群の軌道データ群に含めるかどうかを所定の閾値に基づき判断する判断手段と、前記判断手段により一群の軌道データ群に含めるよう判断された複数の軌道データからなる軌道データ群内において、各軌道データの少なくとも1つの楽音要素を揃えるよう修正を行なう修正手段と、前記修正手段により修正された軌道データに基づき、該軌道データに対応する鍵を駆動するために前記駆動手段を制御する制御手段とを具える鍵盤楽器である。

20

## 【発明の効果】

30

## 【0012】

この発明によれば、演奏情報を構成する打鍵イベントの中から、同一鍵に対応する打鍵イベントを1乃至複数抽出し、該抽出された1乃至複数の打鍵イベントのうち、連続して発生する複数の打鍵イベントを一群の打鍵イベント群に含めるかどうかを所定の閾値に基づき判断する判断し、一群の打鍵イベント群に含めるよう判断された複数の打鍵イベントからなる打鍵イベント群内において、各打鍵イベントの少なくとも1つの楽音要素を揃えるよう修正を行なうことで、該打鍵イベント群内の楽音要素の不揃いを揃えることができる。従って、再生の難しい連打打鍵など、当該鍵盤楽器が再生不得手な演奏であっても、これを一群の打鍵イベント群と捉えて、該打鍵イベント群内の楽音要素を揃えることで、例えば連打演奏内の急激な楽音要素の変化等を無くし、安定した良好な再生を行なうことができるという優れた効果を奏する。

40

## 【0013】

また、この発明によれば、前記抽出された1乃至複数の打鍵イベントのそれぞれに基づき、駆動されるべき鍵の打鍵運動を規定するために、少なくとも該鍵の動きの位置成分の時間的変遷を表す軌道データを1乃至複数作成し、作成された1乃至複数の軌道データのうち、連続して発生する複数の軌道データを一群の軌道データ群に含めるかどうかを所定の閾値に基づき判断し、一群の軌道データ群に含めるよう判断された複数の軌道データからなる軌道データ群内において、各軌道データの少なくとも1つの楽音要素を揃えるよう修正を行なうことで、該軌道データ群内の楽音要素の不揃いを揃えることができる。従って、再生の難しい連打打鍵など、当該鍵盤楽器が再生不得手な演奏であっても、これを軌

50

道データ群と捉えて、該軌道データ群内の楽音要素を揃えることで、例えば連打演奏内の急激な楽音要素の変化を無くし、安定した良好な再生動作を行なうことができるようになるという優れた効果を奏する。

【発明を実施するための最良の形態】

【0014】

以下、添付図面を参照してこの発明の一実施例について説明する。

図1は、この発明の一実施例に係る自動演奏ピアノの構成例を説明するための図であって、機械的な発音機構の要部を抽出して示すと共に、電氣的制御系の機能ブロックを示している。図1に示すように、自動演奏ピアノは、鍵1と、該鍵1の運動をハンマに伝達するためのアクション機構2と、対応する鍵1の運動に連動して打弦運動するハンマ3と、該ハンマ2によって打撃される弦4と、電氣的制御に基づき鍵1を駆動する電磁ソレノイド5とを含む発音機構を具える。この実施例においては、アップライトピアノ型自動演奏ピアノを想定しており、図1には弦4が略鉛直に配置されるアップライトピアノ型の発音機構が示されている。上記の構成は、一般的なアップライトピアノ型自動演奏ピアノと同様である。なお、後述するように、この実施例においては、電磁ソレノイド5の駆動をサーボ制御する自動演奏制御構成が適用されている。このため、ソレノイド5には、プランジャ動作を検出して、その検出出力をフィードバック信号として後述するサーボコントローラ12に供給するためのプランジャセンサ8が具備される。

10

【0015】

鍵1の下面側には、鍵1の動きに応じた適宜の物理量（位置、速度等）を検出するためのキーセンサ6が配設されている。キーセンサ6の出力は、後述する演奏記録部13とサーボコントローラ12の双方に供給され、演奏収録時の演奏情報の作成と自動演奏制御のサーボ制御とに利用される。また、符号7はハンマ3の動きに応じた適宜の物理量（位置、速度等）を検出するためのハンマセンサである。ハンマセンサ7の出力信号は、演奏記録部13に供給されて、当該演奏収録時の演奏情報の生成に利用される。キーセンサ6とハンマセンサ7は、センサ出力信号に基づき、押鍵タイミング、押鍵速度、離鍵タイミング、離鍵速度、打弦タイミング、打弦速度等、ピアノ演奏操作に関わる種々の情報を計測することができるセンサであれば、従来から知られるどのようなセンサ構成を採用してもよい。この実施例では、キーセンサ6及びハンマセンサ7の一例として、鍵1乃至ハンマ3の動作ストロークの全工程について連続的な位置情報を示すアナログ信号を出力可能な光学式の位置センサを採用するものとする。周知のとおり位置情報を適宜微分することで速度情報を得ることができるので、キーセンサ6乃至ハンマセンサ7として位置センサを採用した場合も打弦速度等の速度情報を取得できる。

20

30

【0016】

鍵1は、バランスピンPに貫通された位置を凡その支点として、上下揺動可能に支持されており、非押鍵状態（外力を加えない状態）では図1に示すレスト位置（ストローク量0mmの位置）にあり、該レスト位置からエンド位置（この実施例ではレスト位置から10mm押し込んだ位置）の範囲で往復動可能である。ソレノイド5が駆動（励磁）されると、ソレノイド5のプランジャが上方に突出して、鍵1の後端を突き上げる。これに応じて、鍵1はバランスピンPを支点に揺動して、その演奏者側端部（図において右側）が下がりがり、押鍵が行なわれる。鍵1の押鍵動作に連動して、アクション機構2が作動して、ハンマ3が回動して弦4を打弦することで、ピアノ音が発音される。また、ソレノイド5の消磁に応じてプランジャが下がれば、該プランジャによる鍵1の後端突き上げが解除されるので、鍵1はレスト位置に戻る。これが離鍵の動作である。なお、この明細書において押鍵と該押鍵に対応する離鍵を合わせて「打鍵」と言う。

40

【0017】

なお、図1では、或る1つの鍵1についての機械的な発音機構の要部のみを示しているが、自動演奏ピアノの鍵盤を構成する複数（典型的には88個）の鍵の各々に対して図1に示すものと同様な発音機構が具備される。

【0018】

50

図2は図1に示す自動演奏ピアノの電気的ハードウェア構成の概略を示すブロック図である。図2に示すように自動演奏ピアノは、CPU20、ROM21、RAM22、記憶装置23、インターフェース(I/O)24を含み、各装置間がデータ及びアドレスバス20Bを介して接続される。CPU20は、自動演奏ピアノの全体的な動作を制御すると共に、この自動演奏ピアノの基本的な動作、即ち、演奏情報の再生処理やピアノ演奏の記録処理等、各種信号処理を実行する。この実施例において、前記の各種信号処理は、当該処理を実行するためのソフトウェアプログラムによって構成及び実施されるものとする。該ソフトウェアプログラムは、例えばROM21内に記憶されていてよい。

#### 【0019】

また、RAM22は、各種信号処理の実行中に発生した各種データを格納するワークメモリとして使用される。この実施例においては、RAM22には、この実施例においては、再生すべき演奏情報をロードするための領域や、この実施例に係る「鍵別打鍵イベントブロック記憶領域」や、作成された軌道データをバッファする領域等が用意される。

10

#### 【0020】

センサ25は、図1に示すキーセンサ6、ハンマセンサ7及びソレノイド5に設けられたプランジャセンサ8に相当する。センサ25の出力信号(アナログ信号)はAD変換器を含むインターフェース(I/O)24を介してデジタル信号に変換され、所定のサンプリング周期で制御系に取り込まれる。また、後述する演奏情報再生時に生成される軌道データは、PWM発生器26を介してPWM形式の電流信号(PWM信号)に変換され、ソレノイド5に供給される。

20

#### 【0021】

記憶装置23は、ハードディスク、フレキシブルディスク又はフロッピー(登録商標)ディスク、コンパクトディスク(CD ROM)、光磁気ディスク(MO)、ZIPディスク、DVD(Digital Versatile Disk)等、適宜の記録媒体で構成されてよい。記憶装置23は、再生すべき演奏情報(自動演奏データ)の供給手段として、或いは、ピアノ演奏を記録するための記録媒体として利用されるもので、複数曲分の曲データファイル(複数曲分の演奏情報)を記憶することができる。

#### 【0022】

なお、当該自動演奏ピアノには、この他にも演奏情報の再生や演奏記録に関する各種指示をユーザが入力するための操作子群を含む操作部や該操作子部を駆動・検出するための機構、その機構を制御するためのソフトウェアや、表示器や、電子音源装置や、その他の外部機器(コンピュータやMIDI機器など)、インターネット等の通信ネットワークに接続するための通信インターフェース等が適宜に具備されてよい。

30

#### 【0023】

自動演奏ピアノの基本的な機能である「演奏情報の再生」と「ピアノ演奏の収録」の概要について説明する。図1において、再生前処理部10、モーションコントローラ11及びサーボコントローラ12は、演奏データの再生処理を担うモジュールである。また、演奏記録部13及び記録後処理14は、キーセンサ6及びハンマセンサ7の出力に基づき、演奏者が行ったピアノ演奏の演奏内容を記録する処理(演奏の記録処理)を担うモジュールである。また、この実施例において、これら各モジュールにて実施する信号処理は、CPU20が実行するソフトウェアプログラムによって実現される。

40

#### 【0024】

ユーザは、図示しない操作パネル上のスイッチ操作等により、ピアノ演奏の収録の開始指示を行うことができる。演奏記録部13は、キーセンサ6及びハンマセンサ7から供給されるセンサ出力信号を取り込み、取り込んだセンサ出力信号に基づき、押鍵タイミング、押鍵速度、離鍵タイミング、離鍵速度、打弦タイミング、打弦速度等、ピアノ演奏に関わる種々の情報を計測する。記録後処理部14は、前記計測された種々の情報に対して所定の正規化処理を行なった後、該種々の情報に基づきMIDI形式等の適宜のデータフォーマットの演奏情報(自動演奏データ)を生成する。生成された演奏情報は、例えば1つの曲データファイルとして記憶装置23に記録されたり、図示しない通信ネットワークを

50

介して該ネットワーク上の他の装置にリアルタイムで供給されてよい。なお、前記正規化処理とは、ピアノの個体差を吸収するための処理である。センサにより検出した種々の物理情報は、各ピアノにおけるセンサの位置や、構造上の違い、あるいは、機械的誤差によって各ピアノ固体に固有の傾向を持つものとなるため、標準となるピアノを想定して、該基準となるピアノに対応する演奏情報に変換する正規化処理を行なうのである。

#### 【0025】

演奏情報の構成例を図3に示す。この実施例では、一例として演奏情報のデータはS M F (スタンダードM I D Iファイル)形式で記述されるものとする。図3に示す通り、演奏情報は、或る楽曲の自動演奏を実現するためのM I D Iイベント(打鍵イベント)により構成される。打鍵イベントにはノートオンイベント、ノートオフイベント及びデルタタイムの3つのメッセージが含まれる。ノートオンイベント及びノートオフイベントにおいてステータスバイト(ノートオン=「9 n」、ノートオフ=「8 n」)は、メッセージ種類の識別子とM I D Iチャンネル番号からなる。ステータスバイトに続く1つ目のデータバイト「k k」はノート番号(音高)を表し、2つ目のデータバイト「v v」はベロシティ値を表す。ノート番号「k k」は、音高を128段階のM I D I値で記述したデータであり、自動演奏ピアノ用の演奏情報ではノート番号「k k」はピアノ鍵盤の88鍵の各鍵に割り当てられたキーナンバ(1~88)にそれぞれ対応付けられる。ノートオンのベロシティ値は楽音の音量(ハンマ3の打弦速度)を127段階のM I D I値で表したデータであり、ノートオフのベロシティ値は離鍵速度を128段階のM I D I値で表したデータとする。また、デルタタイムデータ「t t」は、ノートオンイベント又はノートオフイベントの発生タイミングを、直前イベントから当該イベントの間の相対的時間間隔を示すデータ(M I D I値)である。このデルタタイムの累積値により曲先頭から当該イベントまでの累積経過時間を得ることができる。なお、この明細書においては、曲の先頭から当該イベントまでの累積経過時間のことを「時刻」乃至「絶対時刻」と言い、また、デルタタイムが表す前後する2つのイベント間の相対的時間間隔を「相対時間」と呼ぶものとする。

#### 【0026】

##### 《第1実施例》

図4は、この発明の第1の実施形態に係る演奏情報の再生処理の全体的な流れ一例を示すフローチャートである。なお、図4のフローチャートに示す再生処理の全体的な流れは、或る1つの鍵についての打鍵(再生処理)を表すものであり、同様な処理が88鍵の全ての鍵について実行される。以下、図1と図4のフローチャートとを参照して、再生動作の概要を説明する。

#### 【0027】

ユーザは、例えば自動演奏ピアノのコントローラ等に具備された再生スタートスイッチの操作により任意の楽曲の再生(自動演奏)開始を指示できる。ユーザが或る楽曲について再生開始指示を行うと(ステップS1)、ステップS2においてサーボコントローラ12が起動する。サーボコントローラ12は当該再生処理とは別ルーチンで動作する。このサーボコントローラ12の動作については後述する。

#### 【0028】

再生前処理部10は、前記再生開始指示された楽曲の演奏情報を記憶装置23や図示しないリアルタイム通信装置等から読み出して(ステップS3)、該読み出した演奏情報に対して適宜の正規化や単位合わせ等を行うと共に、図5を参照して後述する「鍵毎の打鍵イベント抽出」処理を行い(ステップS4)、該抽出された鍵毎のイベントに対して図7を参照して後述する「打鍵イベント群区切り」処理を行う(ステップS5)。後に詳しく述べる通り、この実施例に係る自動演奏の再生処理においては、ステップS4及びS5の処理により、同一鍵について連続する打鍵イベントを1群の「打鍵イベント群」として把握するところに主要な特徴を有する。なお、前記演奏情報に対する正規化とは、ピアノの個体差を吸収するための処理であり、同単位合わせとは、例えば、M I D I形式で記述された打鍵イベントのベロシティ値をミリメートル毎秒単位、デルタタイムをミリ秒単位等

の記述単位に変換する処理である。

【0029】

モーションコントローラ11においては再現すべき打鍵軌道をサーボコントローラ12に指示するための軌道データを作成する処理が行なわれる(ステップS6)。「軌道データ」は押鍵軌道データとこれに後続する離鍵軌道データのセット、つまり1回の打鍵を構成する鍵の動きを表す。ここで作成された軌道データのデータはRAM22に一時格納される。そして、前記ステップS6において作成された軌道データの再生タイミングが到来したら(ステップS7のyes)、ステップS8において、現在のタイミングで再生すべき軌道データをRAM22から読み出してサーボコントローラ12に供給し、サーボコントローラ12は該供給された軌道データに基づき鍵1の挙動をサーボ制御する。すなわち、サーボコントローラ12は、モーションコントローラ11から供給された軌道データ(軌道リファランスref)と、キーセンサ6及びプランジャセンサ8から帰還入力されるフィードバック信号とに基づく励磁電流(図2のPWM発生器26によって発生されるPWM形式の電流信号)をソレノイド5に供給し、該ソレノイド5の駆動をサーボ制御する。これにより、鍵1が押鍵され、該鍵1の押鍵動作に応じてアクション機構2が作動して、ハンマ3が打弦運動する。

10

【0030】

ステップS10では、当該軌道データの軌道データを最後まで再生したかどうかチェックして、最後でなければ(ステップS7のno)、ステップS8以下を繰り返して、後続の軌道(押鍵軌道に対する離鍵軌道)を再生することで当該軌道データの再生を行なう。そして、1曲分の演奏情報の再生が終了するまでステップS6以降を繰り返す(ステップS8)。演奏情報が終了したら(ステップS8のyes)、ステップS9においてサーボコントローラ12を停止する。

20

【0031】

図5は、前記図4のステップS4における「鍵毎の打鍵イベント抽出」処理の手順の一例を示すフローチャートである。ステップS12において、前記図4のステップS3において読み出される演奏情報(打鍵イベント)を当該楽曲の1曲分全てRAM22にロードする。RAM22上には、デルタタイムとイベント(ノートオン又はノートオフイベント)からなるシーケンスが、楽曲の先頭から終端までイベント発生順に順次書き込まれる(図3の演奏情報構成例を参照)。

30

【0032】

ステップS13では、RAM22にロードした演奏情報について、各打鍵イベントのメッセージ(ノートオン又はノートオフイベント、各イベントの発生タイミングを示すデルタタイム)を曲の先頭から順次読み取り、ステップS14において、前記読み取った打鍵イベントのメッセージに基づき、図6に示す「鍵別打鍵イベントブロック記憶領域」を作成する。「鍵別打鍵イベントブロック記憶領域」は、1曲分の演奏情報に含まれる全ての打鍵イベントを88鍵の各鍵別に管理するためのデータ記憶領域であって、RAM22において88鍵の各鍵毎に1曲分の全ての打鍵イベントを格納しうる十分な容量を確保して用意される。

【0033】

図6の「鍵別打鍵イベントブロック記憶領域」で使用する変数について説明する。

「K」はノート番号(キーナンバ)である。変数「i」は当該鍵についての打鍵イベントの順番を示す「打鍵イベント番号」であって、曲の先頭からの通し番号で記述されている。なお、打鍵イベント番号はi-1の整数であり、当該楽曲中の当該ノート番号について最後のイベント番号は変数Mで表す。変数「vpi」は曲頭からi番目のノートオンベロシティ値である。また、変数「vni」は曲頭からi番目のノートオフベロシティ値(ノートオンベロシティvpiに後続するノートオフベロシティ値)である。また、変数「tpi」は、ノートオンベロシティ「vpi」の発生タイミング、すなわち直前ノートオフ「vn(i-1)」から「vpi」までの相対時間である(但し、曲開始後の最初の打鍵イベントについては曲開始からの相対時間)。また、変数「tni」は「vpi」とこ

40

50



れに後続する「v n i」の間の相対時間である。

【0034】

図6においては、特定の鍵「K」=1について打鍵イベントの記述例を一例として示す。鍵別打鍵イベントブロック記憶領域の或る鍵「K」=1の打鍵イベントブロックには、当該「K」=1について、或る楽曲1曲中の全ての打鍵イベントが、打鍵イベント番号*i* ( $i = 1, 2, 3 \dots M$ )によりイベント発生順に管理されており、各打鍵イベントについて「t p i」, 「v p i」, 「t n i」, 「v n i」の各データが記憶されている。以下、他のノート番号*K* = 2 ~ 88に対応する各打鍵イベントブロックもそれぞれ上記と同様な内部構造により構成される。

【0035】

前記ステップS14においては、前記ステップS13にて読み出した打鍵イベントのメッセージに応じて、上記図6の鍵別打鍵イベントブロック記憶領域に「t p i」, 「v p i」, 「t n i」, 「v n i」の各データを書き込むことで、当該楽曲についての鍵別打鍵イベントブロック記憶領域を作成する。打鍵イベントの読み出しは曲先頭からイベント発生順に行なわれるので、読み出されるイベントの順序は、或る1つの鍵についてのイベントにのみ着目すれば、デルタタイム、ノートオン、デルタタイム、ノートオフ、デルタタイム、ノートオン・・・の順である。従って、当該ステップS14における鍵別打鍵イベントブロック記憶領域に対する上記各データの書き込み動作を、或る1つ鍵に対応する打鍵イベントブロックにのみ着目すれば、先ず、「t p i」欄にデータが書き込まれ、ついで、「v p i」欄、「t n i」欄、そして、「v n i」欄に順次データが書き込まれ、或る1つの打鍵イベント番号*i*に対応する1行が完成し、1つの打鍵イベントの記述が終る。1つの打鍵イベントの記述が終ると、次の打鍵イベント番号( $i + 1$ )の行の書き込みに移行する。

【0036】

前記ステップS14における鍵別打鍵イベントブロック記憶領域に対する各変数の書き込み処理を具体的に説明する。なお、打鍵イベントブロック記憶領域において、データを書き込むべき欄を「末尾欄」と呼ぶ。

前記ステップS13において読み出した打鍵イベントがデルタタイムであった場合は、88鍵の全ての鍵に対応する打鍵イベントブロックの各末尾欄(t p i又はt n i)に読み出したデルタタイムの値を書き込む。ここで、t p i又はt n i欄に既に何らかの値が書き込まれているものの、対応するv p i又はv n i欄(図6においてそれぞれ右隣の欄)が空欄である場合には、当該t p i又はt n i欄を末尾欄とみなし、読み出したデルタタイムの値は当該t p i又はt n iに加算される。従って、対応するv p i又はv n i欄に値が書き込まれるまでは、当該t p i又はt n iの値が累積されることになる。

【0037】

また、ノートオンイベントが読み出された場合には、当該ノート番号*K*の打鍵イベントブロックの末尾欄(v p iの欄)にベロシティ値を書き込む。この時点で、当該v p iに対応するt p iの値が確定する。確定したt p iの値は、直前のノートオフv n ( $i - 1$ )を書き込んだ時点から当該v p iを書き込んだ時点までに読み出したデルタタイムの累積値であるため、該直前ノートオフv n ( $i - 1$ )から当該v p iまでの相対時間を表す値となる。

【0038】

また、ノートオフイベントが読み出された場合には、当該ノート番号*K*の打鍵イベントブロックの末尾欄(v n iの欄)にベロシティ値を書き込む。この時点で、当該v n iに対応するt n iの値が確定する。当該v n iの直前のノートオンv p iが書き込まれた時点以後に読み出されるデルタタイムイベントは、順次、当該v n iに対応するt n i欄に書き込み・加算される。すなわち、前記確定したt n iの値は、直前のノートオンv p iから当該v n iまでに読み出したデルタタイムの累積値であり、該直前ノートオンv p iから当該v n iまでの相対時間を表す値となる。

【0039】

10

20

30

40

50

上記ステップ S 1 3 のイベントの読み出しとステップ S 1 4 の処理を、当該曲の演奏情報の終りまで繰り返すことで、1 曲分の演奏情報について「鍵別打鍵イベントブロック記憶領域」を作成する（ステップ S 1 5）。

#### 【0040】

図 7 は、前記図 4 のステップ S 5 における「打鍵イベント群区切り」処理の手順の一例を示すフローチャートである。ステップ S 1 6 において、ノート番号  $K = 1$  にセットして、処理対象となる鍵をノート番号  $K = 1$  に対応する鍵に設定する。ステップ S 1 7 において、打鍵イベント番号  $i = 1$  にセットすることで、以下の処理を曲頭から 1 番目の打鍵イベントから始めるよう打鍵イベント番号  $i$  を初期化する。ステップ S 1 8 において、前記ステップ S 1 7 においてセットした変数  $i = 1$  を変数  $I$  にセットする。変数  $I$  は、以下の処理において確定すべき「打鍵イベント群」の先頭の打鍵イベント番号  $i$  を定義するためのものである。ステップ S 1 9 において、変数  $j$  に「 $i - I$ 」すなわち前記ステップ S 1 7 でセットした変数  $i$  から前記ステップ S 1 8 でセットした変数  $I$  を減算した値をセットする。変数  $j$  は、前記確定すべき打鍵イベント群内における打鍵イベント番号を表す変数である。この変数  $j$  により、前記打鍵イベント群は、先頭番号「0」～群内終端番号「 $N$ 」までの  $N + 1$  個の打鍵イベントからなる打鍵イベント群と表現できる。先に述べた通り、「 $j = i - I$ 」と定義されるので、打鍵イベント群は変数  $I \sim I + N$  番目までの  $N + 1$  個の打鍵イベント群と表現することもできる。

10

#### 【0041】

ステップ S 2 0 において、現在の打鍵イベント番号  $i$  の値を 1 つインクリメント（ $i + 1$ ）して、前記打鍵イベント番号  $i$  に後続する打鍵イベント番号（ $i + 1$ ）を新規打鍵イベント番号  $i$  にセットする。そして、ステップ S 2 1 において、当該ノート番号  $K$  についての鍵別打鍵イベントブロック記憶領域（図 6 参照）から、前記ステップ S 2 0 でセットした打鍵イベント番号  $i$  の「 $t p i$ 」を読み出す。ここで読み出した「 $t p i$ 」は、群内打鍵イベント番号  $j$ （つまり、打鍵イベント番号  $i$  の直前の打鍵イベント）におけるノートオフ「 $v n j$ 」から当該打鍵イベント番号  $i$  のノートオン「 $v p i$ 」までの相対時間を表すデータである。

20

#### 【0042】

ステップ S 2 2 において、前記ステップ S 2 1 で読み出した「 $t p i$ 」の値に基づき、直前「 $v n j$ 」から「 $v p i$ 」までの相対時間の間隔を調べる。この実施例では、「 $t p i$ 」が 500 ミリ秒（msec）以上であるかどうかを判断している。直前「 $v n j$ 」から「 $v p i$ 」までの相対時間の間隔（ $t p i$ ）が 500 msec 以下に近接している場合（ステップ S 2 2 の  $no$ ）は、直前の打鍵イベント番号  $j$  と打鍵イベント番号  $i$  とを同一打鍵イベント群内に属する打鍵イベントと判断して、ステップ S 1 9 に戻る。ステップ S 1 9 では、現在の打鍵イベント番号（ $i - I$ ）つまり番号（ $j + 1$ ）を、新規の群内番号  $j$  にセットして、以下、ステップ S 2 0 ~ S 2 2 により上記と同様な処理を行なう。

30

#### 【0043】

一方、直前「 $v n j$ 」から「 $v p i$ 」までの相対時間「 $t p i$ 」が 500 msec 以上離れている場合（ステップ S 2 2 の  $yes$ ）は、直前の群内打鍵イベント番号  $j$  と打鍵イベント番号  $i$  とは別の打鍵イベント群に属するものと判断して、打鍵イベント番号  $I$  から現在の群内番号  $j$  までを区切りとして、この区切りに含まれる全ての打鍵イベントを 1 群の「打鍵イベント群」として確定する。なお、ステップ S 2 2 の  $yes$  の場合、現時点の群内打番号  $j$  の値が群内終端番号「 $N$ 」に相当するものである。ステップ S 2 3 では、前記確定した打鍵イベント群に対して「修正処理」のサブルーチンを行なう。この「修正処理」の詳細な内容は図 8 を参照して後述する。

40

ステップ S 2 4 では、当該鍵について、当該楽曲の終端まで打鍵イベントを調べたか（打鍵イベント番号  $i = M$  に達したか）どうか判断し、未だ楽曲の終りまで処理していなければ（ステップ S 2 4 の  $no$ ）、ステップ S 1 8 に戻り、現時点の打鍵イベント番号  $i$  を変数  $I$  にセットすることで、次ぎに確定すべき「打鍵イベント群」の先頭の打鍵イベント番号  $i$  を定義し、以下、上記と同様な処理によって新たな打鍵イベント群を確定する。当

50

該鍵について当該楽曲の終りまで処理したら、つまり打鍵イベント番号  $i = M$  の場合（ステップ S 2 4 の *y e s*）、ステップ S 2 5 においてノート番号  $K$  をインクリメント（ $K + 1$ ）することで新たな鍵を処理対象に設定し、ステップ S 1 7 以下の処理により、8 8 鍵の全ての鍵について当該楽曲の終りまで打鍵イベント群の確定を行なう（ステップ S 2 6）。

【0044】

以上の処理により、同一鍵について、或る打鍵イベントのノートオンタイミングと直前打鍵イベントのノートオフタイミングが 500 msec 以内の間隔で連続している「打鍵イベント群」を確定する。言い換えれば、「打鍵イベント群」は打鍵イベント発生間隔が 500 msec 以内の連打打鍵のイベント群と捉えることができる。なお、前記ステップ S 2 2 において当該打鍵イベント番号  $i = M$ 、すなわち、当該曲中の当該鍵の最終打鍵イベントの場合も、ステップ S 2 2 を *y e s* に分岐して、打鍵イベント群を確定する。

10

【0045】

図 8 は、前記ステップ S 2 3 に示す打鍵イベント群に対する「修正処理」の手順の一例を示すフローチャートである。以下に説明する修正処理により打鍵イベント群内の各打鍵イベントを分析し、該各打鍵イベントを修正する。なお、処理対象の打鍵イベント群内の打鍵イベント番号  $i$  は  $i = [I \sim I + N]$  であり、これは群内番号  $j [0 \sim N]$  に対応する。

まず、ステップ S 2 7 において、前記ステップ S 1 9 においてセットされた群内番号  $j$  の値に応じて当該打鍵イベント群内の打鍵イベント数を確定し、該確定したイベント数に基づき変数  $J$  をセットする。当該修正処理は、前述の通りステップ S 2 2 の判断により、打鍵イベント群の区切りを確定した後に行なわれるので、現時点の群内番号  $j$  は群内終端番号「 $N$ 」となっている。従って、現時点の群内番号  $j$  に対応して打鍵イベント数を確定することができる。ここでは、群内番号  $j$  の値を変数  $J$  に記憶するものとする。前述の通り、変数  $j$  は「0」～「 $N$ 」までの整数であるから、変数  $J$  の値は「実際のイベント数 - 1」の数値となる。

20

【0046】

ステップ S 2 8 において、変数  $J$  の値が 0 より大きいか調べる。変数  $j$  は「0」～「 $N$ 」までの整数であるから、変数  $J = 0$  の場合とは当該打鍵イベント群内のイベント数が 1 打鍵イベントのみの場合である。変数  $J > 0$  の場合はステップ S 2 8 を *n o* に分岐することで、打鍵イベント群内のイベント数が 1 つ（つまり単打）の場合には、以下の処理を行わないようにしている。

30

【0047】

変数  $J > 0$ 、つまり打鍵イベント群内のイベント数が複数の場合（ステップ S 2 8 の *y e s*）、当該打鍵イベント群は同一鍵の連打打鍵を表す打鍵イベント群である。この場合、この実施例においては、打鍵イベント群内における各打鍵イベントの楽音要素の修正内容の一具体例として、ステップ S 2 9 ~ S 3 2 により、処理対象の打鍵イベント群内の全ての打鍵イベントに対して、ノートオンベロシティ  $v p i$ 、ノートオフベロシティ  $v n i$ 、ノートオン発生タイミングを示す相対時間  $t p i$  及びノートオフ発生タイミングを示す相対時間  $t n i$  の各データの算術平均（相加平均）を求め、各データを求めた平均値に均一化する処理を行なう。

40

【0048】

ステップ S 2 9 では、下記の式（1）により、当該打鍵イベント群内の全てのノートオンベロシティ  $v p i$  を平均化し、打鍵イベント群内のノートオンベロシティ平均値  $v p a v$  を得る。なお、式（1）において群内番号の変数  $j$  は「0」から「 $J$ 」である。

【数 1】

$$vpav = \sum_{j=0}^J (vpj) / (J+1) \cdots \text{式 (1)}$$

【0049】

50

ステップS30では、下記の式(2)により、当該打鍵イベント群内の全てのノートオフペロシティ $v_{ni}$ を平均化し、打鍵イベント群内のノートオフペロシティ平均値 $v_{nav}$ を得る。なお、式(2)において群内番号の変数 $j$ は「0」から「J」である。

【数2】

$$v_{nav} = \sum_{j=0}^J (v_{nj}) / (J+1) \quad \dots \text{式(2)}$$

【0050】

ステップS31では、下記の式(3)により、当該打鍵イベント群内のイベント相互時間(ノートオンタイミング) $t_{pi}$ を平均化し、打鍵イベント群内のノートオンタイミング平均値 $t_{pav}$ を得る。なお、式(3)において群内番号の変数 $j$ は「1」から「J」である。これにより、当該打鍵イベント群内の先頭のノートオンの発生タイミング $t_{p0}$ を修正せずに保持する。従って、直前打鍵イベント群の末尾から当該打鍵イベント群の先頭までの相互間隔には影響を与えない。

10

【数3】

$$t_{pav} = \sum_{j=1}^J (t_{pj}) / (J) \quad \dots \text{式(3)}$$

【0051】

ステップS32では、下記の式(4)により、当該打鍵イベント群内のイベント相互時間(ノートオフタイミング) $t_{ni}$ を平均化し、打鍵イベント群内のノートオフタイミング平均値 $t_{nav}$ を得る。なお、式(4)において群内番号の変数 $j$ は「0」から「J-1」である。これにより、当該打鍵イベント群内の末尾のノートオフの発生タイミング $t_{nJ}$ を修正せずに保持する。従って、当該打鍵イベント群の末尾から後続する打鍵イベント群の先頭の相互間隔に影響を与えない。

20

【数4】

$$t_{nav} = \sum_{j=0}^{J-1} (t_{nj}) / (J) \quad \dots \text{式(4)}$$

【0052】

上記ステップS31とS32の処理により、当該打鍵イベント群の先頭のノートオン発生タイミングと、当該打鍵イベント群の末尾のノートオフ発生タイミングを修正しないようにしているので、ステップS29~S32による平均化範囲は後述図9(b)において矢印Aで示す範囲となる。なお、当該打鍵イベント群内の末尾のノートオン発生タイミング $t_{pJ}$ も結果として変化しない。

30

【0053】

ステップS33では、前記図6に示す鍵別打鍵イベントブロック記憶領域において、当該打鍵イベント群に含まれる各打鍵イベント毎の値を、上記ステップS29~S32による修正結果に基づき書き換える。すなわち、当該打鍵イベント群に含まれる全ての打鍵イベント番号 $j$ の各ノートオンペロシティ $v_{pj}$ を上記ステップS29で求めたノートオンペロシティ平均値 $v_{pav}$ に、また、各ノートオフペロシティ $v_{nj}$ を上記ステップS30で求めたノートオフペロシティ平均値 $v_{nav}$ にそれぞれ書き換える。また、当該打鍵イベント群内の先頭の打鍵イベント番号[ $j=0$ (つまり、 $i=I$ )]におけるノートオン発生タイミング $t_{p0}$ を除く、当該打鍵イベント群内の全ての $t_{pj}$ を上記ステップS31で求めたノートオン発生タイミング平均値 $t_{pav}$ に書き換える。また、当該打鍵イベント群内の末尾の打鍵イベント番号[ $j=J$ (つまり、 $i=I+N$ )]におけるノートオフ発生タイミング $t_{nJ}$ を除く、当該打鍵イベント群内の全ての $t_{nj}$ を上記ステップS32で求めたノートオン発生タイミング平均値 $t_{nav}$ に書き換える。

40

【0054】

図9は或る1つの打鍵イベント群についての修正処理を模式的に示す図である。図9に

50

において、縦軸はベロシティ値、横軸は時間  $t$  を示し、上向き矢印によりノートオンイベント、下向き矢印によりノートオフイベントを示す。すなわち、各矢印の長さにより当該イベントのベロシティ値 ( $v_{pi}$  又は  $v_{ni}$ ) を表し、横軸上の位置は各イベント間の相互時間間隔 ( $t_{pi}$  又は  $t_{ni}$ ) に基づく。また、同一打鍵イベント群に属するノートオン・ノートオフイベントを実線で示し、他の打鍵イベント群に属するものは点線で示した。(a) は修正前の打鍵イベント群の模式図、(b) は図 8 の修正処理により平均化を施した打鍵イベント群の模式図である。なお、当該打鍵イベント群内の各打鍵イベント番号  $i$  は「 $I$ 」から「 $(I + N)$ 」であり、先に述べた通り、変数  $j = i - I$  と定義されている。上記ステップ S 27 ~ S 33 の修正処理により、当該打鍵イベント群内の各打鍵イベントは、図 9 (a) に示す修正前の状態から (b) 修正後の状態、つまり、各  $v_{pj}$  が平均値  $v_{pav}$  に、また、各  $v_{nj}$  が平均値  $v_{nav}$  に、また、 $t_{p0}$  以外の全ての  $t_{pj}$  が平均値  $t_{pav}$  に、 $t_{nJ}$  以外の全ての  $t_{nj}$  が平均値  $t_{nav}$  に修正される。これにより、当該打鍵イベント群内の楽音要素の不揃いを均一に揃えることができる。

10

#### 【0055】

当該打鍵イベント群について鍵別打鍵イベントブロック記憶領域の書き換えが終了、図 8 に示す「修正処理」のルーチンを抜けて、図 7 に示すステップ S 25 以降に戻り、8 8 鍵の全ての鍵の全ての打鍵イベント群に対して図 8 に示す「修正処理」のルーチンを行い、各打鍵イベント群内の各打鍵イベントを修正する。

#### 【0056】

図 10 はモーションコントローラ 11 が実行する「軌道データ作成処理 (上記図 4 のステップ S 6)」の手順の一例を示すフローチャートである。この実施例において、軌道データ作成に利用される打鍵イベントは、図 7 及び図 8 の処理により打鍵イベント群毎に適宜修正された打鍵イベントである。なお、図 10 において、或る 1 つの鍵についての 1 つの打鍵イベントに対応する軌道データ作成について説明する。また、図 10 においては、押鍵から離鍵に至る軌道データの作成について説明するが、離鍵から押鍵に至る軌道データの作成についても大略同様なアルゴリズムを適用できる。

20

#### 【0057】

ステップ S 34 において、当該鍵に対応する鍵別打鍵イベントブロック記憶領域から、1 つの打鍵イベントについてノートオンイベント、つまり、ノートオンベロシティ  $v_{pi}$  のデータと、当該ノートオンの発生タイミングを示す  $t_{pi}$  を取得する。ノートオンベロシティ  $v_{pi}$  は、図 3 を参照して前述した通りハンマ 3 による打弦速度  $VH$  を示すデータであり、該  $v_{pi}$  の発生タイミングを示す  $t_{pi}$  は即ち打弦時刻  $TH$  に対応する。 $t_{pi}$  は相対時間 (デルタタイム) のデータであるが、曲先頭から当該イベントまでのデルタタイム ( $t_{pi}$  及び  $t_{ni}$ ) の累積値により、打弦時刻  $TH$  の絶対時刻を得ることができる。すなわち、打弦時刻  $TH$  は当該ノートオンイベントの発生時刻を曲先頭からの絶対時刻で表すデータである。

30

#### 【0058】

ステップ S 35 において、打弦速度  $VH$  及び打弦時刻  $TH$  に基づき、押鍵リファランス速度  $Vr$  と押鍵リファランス時刻  $Tr$  を算出する。押鍵リファランス速度  $Vr$  とは、鍵 1 の所定のストローク位置 (リファランス位置  $X$ ) における鍵の押鍵速度を指す。リファランス位置  $X$  とは、当該位置における鍵の速度を確定することで所望のハンマ打弦速度を高精度で再現できる鍵のストローク位置として定義された所定位置であり、これは概ねレスト位置から  $9.0 \sim 9.5$  mm 鍵を押し込んだ位置が適切であることが実験等により判っている。このリファランス位置  $X$  において、打弦速度  $VH$  を忠実に再現するための押鍵リファランス速度  $Vr$  は直線近似関数式 (5) によって推定できる。

40

$$Vr = *VH + \dots \text{式 (5)}$$

なお、この明細書において数式中の記号「 $*$ 」は乗算を示す。

#### 【0059】

また、押鍵リファランス時刻  $Tr$  は、打弦時刻  $TH$  にて打弦を実行するために鍵 1 が前記リファランス位置  $X$  を通過すべき時刻である。打弦時刻  $TH$  と押鍵リファランス時刻  $Tr$

50

$t_r$  の時間差  $t$  とすると、該時間差  $t$  と打弦速度  $V_H$  の関係は双曲線によって良好に近似されることが実験から判っている。従って、時間差  $t$  は打弦速度  $V_H$  を分母とする 1 変数式 (2) で近似することができる。

$$t = -(\quad / V_H) + \dots \text{式 (6)}$$

【0060】

上記式 (2) により時間差  $t$  が求めれば、打弦時刻  $T_H$  (絶対時刻) から時間差  $t$  を減算 [ $T_H - t$ ] することで押鍵リファランス時刻  $T_r$  を算出することができる。押鍵開始時刻  $T_R$  は、押鍵リファランス時刻  $T_r$  (絶対時刻) と、速度  $V_r$  の速さで変位する鍵 1 がレスト位置 (ストローク量 0 mm) から所定のリファランス位置  $X$  まで変位するのにかかる相対時間の差分として求めることができる。すなわち、押鍵開始時刻  $T_R$  は、

10

$$T_R = T_r - X / V_r \dots \text{式 (7)}$$

【0061】

従って、押鍵リファランス速度  $V_r$  及び押鍵リファランス時刻  $T_r$  を満たす等速軌道は、レスト位置 (鍵の押し込み量 0 mm)  $X_R$  とし、時刻  $t$  を絶対時刻とすると「 $V_r * (t - T_r) + X_R$ 」で表すことができる。これにより、当該ノートオンイベントに対応する等速押鍵軌道を求めることができる。なお、ここでは等速軌道を想定しているので押鍵リファランス速度  $V_r$  は当該等速軌道の押鍵速度に等しい。

なお、式 (5) の  $\quad$  及び  $\quad$  と、式 (6) の  $\quad$  及び  $\quad$  は、それぞれ、ピアノ機種やリファランス位置  $X$  の設定等に応じて実験によって決定される定数である。

20

【0062】

ステップ S 3 6 において、当該鍵に対応する鍵別打鍵イベントブロック記憶領域から、前記ステップ S 3 4 にてノートオンを取得した打鍵イベントについて、ノートオフイベント  $v_{ni}$  のデータと、当該ノートオフの発生タイミングを示す  $t_{ni}$  を取得する。ノートオフベロシティ  $v_{ni}$  は、図 3 を参照して前述した通り離鍵速度  $V_{KN}$  ( $< 0$ ) を示すデータであり、該  $v_{ni}$  の発生タイミングを示す  $t_{ni}$  は即ち離鍵時刻  $T_{KN}$  に対応する。曲先頭から当該イベントまでのデルタタイム ( $t_{pi}$  及び  $t_{ni}$ ) の累積値により、離鍵時刻  $T_{KN}$  の絶対時刻を得ることができる。すなわち、離鍵時刻  $T_{KN}$  は当該ノートオフイベントの発生時刻を曲先頭からの絶対時刻で表すデータである。

30

【0063】

ステップ S 3 7 において、離鍵速度  $V_{KN}$  及び離鍵時刻  $T_{KN}$  に基づき離鍵リファランス速度  $V_{rN}$  ( $< 0$ ) と離鍵リファランス時刻  $T_{rN}$  を算出する。離鍵軌道については、ダンパーが弦 4 に当接する (弦 4 の振動を減衰開始させる) 時点における鍵 1 のストローク位置を離鍵リファランス位置  $X_N$  とする。離鍵リファランス速度  $V_{rN}$  は該離鍵リファランス位置  $X_N$  における鍵の速度であり、また、離鍵リファランス時刻  $T_{rN}$  はストロークエンド位置から離鍵開始した鍵 1 が該離鍵リファランス位置  $X_N$  に達する時刻である。ここで、離鍵動作開始を基準時点 (= 0)、鍵のストロークエンド位置を  $X_E$  (鍵の押し込み量 10 mm)、鍵が離鍵リファランス位置  $X_N$  を通過する時刻を  $T_{rN}'$  とすると離鍵リファランス位置  $X_N$  は式 (8) となる。

$$X_N = V_{rN} * T_{rN}' + X_E \dots \text{式 (8)}$$

40

[なお、等速軌道を想定しているので初速度 =  $V_{rN} = V_{KN}$  ( $< 0$ ) ]

【0064】

上記式 (8) から  $T_{rN}'$  を求めることができる。 $T_{rN}'$  は鍵 1 が速度  $V_{rN}$  の速さでエンド位置  $X_E$  から離鍵リファランス位置  $X_N$  まで変位するのにかかる相対時間であるから、該  $T_{rN}'$  と離鍵リファランス時刻  $T_{rN}$  (絶対時刻) との差分から、絶対時刻で表現した離鍵開始時刻  $T_{EN}$  を求めることができる。

離鍵開始時刻  $T_{EN}$  が決まれば、離鍵リファランス速度  $V_{rN}$  及び離鍵リファランス時刻  $T_{rN}$  を満たす等速離鍵軌道は、時刻  $t$  を絶対時刻とすると「 $V_{rN} * (t - T_{EN}) + X_E$ 」で表すことができる。これにより、当該ノートオフイベントに対応する等速離鍵軌道を求めることができる。

50

## 【0065】

ステップS38において、前記ステップS35で求めた押鍵軌道と、前記ステップS37でも止めた離鍵軌道を1組の軌道データとして、RAM22に格納する。前記軌道データは、レスト位置を時刻TRに出発して時刻TEにエンド位置に到着する押鍵速度Vrの押鍵軌道と、時刻TEから時刻TENの静止区間(速度=0)と、時刻TENにエンド位置を出発して時刻TRNにレスト位置に到着する離鍵速度VrNの離鍵軌道とからなる。この軌道データのデータが軌道リファランスrefとしてサーボコントローラ12に供給される。

## 【0066】

なお、上記軌道データ作成処理において、所謂ハーフストローク奏法に対応すべく、押鍵軌道と離鍵軌道の軌道交差判定を行ない、軌道が交差する(ハーフストローク奏法である)場合には、両軌道の交差時刻を算出し、該交差時刻で押鍵軌道と離鍵軌道の切り替えを行なう交差軌道データを作成してもよい。また、作成する軌道は等速軌道(直線軌道)に限らず曲線軌道等であってもよい。

## 【0067】

図11は、当該自動演奏ピアノにおけるサーボ制御の制御構成の一例を機能的に示すブロック図である。以下に、当該自動演奏ピアノにおける鍵1の打鍵操作のサーボ制御の動作(サーボコントローラ12の動作)の一例について図11を参照して説明する。

## 【0068】

目標値生成部50には、図10を参照して説明した処理により生成された軌道データ(軌道リファランスref)が、当該軌道データの供給タイミングに応じて供給される。目標値生成部50は該供給された軌道リファランスに基づき、或る時刻tにおける位置目標値rx及び速度目標値rvを生成する。速度目標値rvは、或る時刻tにおける打鍵速度を例えばミリメートル毎秒単位で記述したデータである。この実施例では等速軌道を想定しているので、速度目標値rvは常に一定であり、押鍵軌道については前記ステップS35で求めた押鍵速度Vr、離鍵軌道については前記ステップS37で求めた離鍵リファランス速度VrNである。また、位置目標値rxは該或る時刻tにおける鍵の位置を表すデータであり軌道データに基づき生成できる。

## 【0069】

目標値生成部50で生成された速度目標値rvと位置目標値rxは、所定のサンプル時間毎(例えば1msec毎)に、後段の速度比較部51、位置比較部52にそれぞれ並行に送出される。速度比較部51では、速度目標値rvと速度成分のフィードバック信号yvの差(速度偏差ev)を求める。また、位置比較部52では、位置目標値rxと位置成分のフィードバック信号yxの差(位置偏差ex)を求める。

## 【0070】

前記速度成分のフィードバック信号yvと前記位置成分のフィードバック信号yxは、ソレノイド5の制御量(プランジャ速度)yを検出する速度センサ(プランジャセンサ)8及び該ソレノイド5により打鍵された鍵1の制御量(鍵ストローク位置)ykを検出する位置センサ(キーセンサ)6の出力に基づき生成される。速度センサ8から出力されたプランジャ速度ymに基づく速度アナログ信号yvma及び位置センサ6から出力された鍵ストローク位置ykに基づく位置アナログ信号yxkaはそれぞれAD変換器(図2のインターフェース24に相当)56a, 56bを介して、速度デジタル信号yvmdと位置デジタル信号yxkdに変換される。正規化部57a, 57bは、速度デジタル信号yvmd及び位置デジタル信号yxkdに対して所定の正規化処理を行ない、速度デジタル信号yvmd及び位置デジタル信号yxkdをそれぞれ正規化した「プランジャ速度値yv m」と「鍵位置値yx k」を生成する。なお、前記所定の正規化処理は例えば、速度デジタル信号yvmdの記述単位を速度目標値rvの記述単位(例えばミリメートル毎秒単位)に換算したり、位置デジタル信号yxkdの記述単位を位置目標値rxの記述単位(例えばミリメートル)に換算したりする処理や、各装置個体に固有の値ずれの補正などである。

10

20

30

40

50

## 【0071】

速度生成部58は、鍵位置値 $y \times k$ を適宜微分演算(例えば多項式適合等)することにより、鍵1の速度情報(鍵速度値 $y \times v \times k$ )を生成する。また、位置生成部59は、プランジャ速度値 $y \times v \times m$ を適宜積分演算することにより、プランジャの位置情報(プランジャ位置値 $y \times x \times m$ )を生成する。そして、速度成分加算部60において、プランジャ速度値 $y \times v \times m$ と鍵速度値 $y \times v \times k$ を加算して一本化することで、速度成分のフィードバック信号 $y \times v$ を生成する。この速度成分のフィードバック信号 $y \times v$ は前記速度比較部51へ帰還入力(負帰還)される。また、位置成分加算部61において、鍵位置値 $y \times v \times k$ とプランジャ位置値 $y \times x \times m$ を加算して一本化することで、位置成分のフィードバック信号 $y \times x$ を生成する。この位置成分のフィードバック信号 $y \times x$ は前記位置比較部52へ帰還入力(負帰還)される。

## 【0072】

速度比較部51で求めた速度目標値 $r \times v$ と速度成分フィードバック信号 $y \times v$ との差(速度偏差 $e \times v$ )は、速度増幅部53において所定のゲイン値 $K \times v$ で増幅された後、速度制御信号 $u \times v$ として加算器55に供給される。また、位置比較部52で求めた位置目標値 $r \times x$ と位置成分フィードバック信号 $y \times x$ の差(位置偏差 $e \times x$ )は、位置増幅部54において所定のゲイン値 $K \times x$ で増幅された後、位置制御信号 $u \times x$ として加算器55に供給される。加算器55では、速度制御信号 $u \times v$ と位置制御信号 $u \times x$ を加算することで、これら各事象の制御信号を一本化する。この加算結果がソレノイド5を駆動するための制御信号 $u$ である。制御信号 $u$ はPWM発生器26を介してPWM形式のソレノイド励磁電流信号 $u \times i$ に変換され、この励磁電流信号 $u \times i$ に基づきソレノイド5が駆動される。

## 【0073】

以上説明した通り、この発明に係る第1実施例によれば、同一鍵について複数の打鍵イベントの相互間隔が500msec以内に近接する場合に、該複数の打鍵イベントを連続する打鍵イベント群として捉えて、該打鍵イベント群内の楽音要素の不揃いを揃えることで、連打演奏内の急激な楽音要素の変化を無くし、安定した連打打鍵用の軌道データを供給できる。従って、再生の難しい連打打鍵など、自動演奏ピアノが再生不得手な演奏も、比較的安定して再生できるようになる。また、記録状態の不安定(楽音要素にバラツキの多い)な連打演奏や記録精度の悪い演奏情報の再生を行なう場合や、再生を行う自動演奏ピアノの動作確動作が悪い場合でも、安定した再生動作を行なうことができるようになる。

## 【0074】

## 《第2実施例》

上記第1実施例においては、再生前処理部10における処理(図4のステップS5)として、打鍵イベント(MIDIデータ)に対して打鍵イベント群の区切り(図7)や、該打鍵イベント群に対する修正処理(図8)を行なう例を示した。これに対して、第2実施例では、モーションコントローラ11において作成した軌道データに対して「軌道データ群」の区切りや、軌道データ群の修正処理を行なう。図12は第2実施例の概要を説明するための図であって、複数の軌道データによる打鍵軌道の一例を示す模式図である。同図において、横軸に時間 $t$ をとり、縦軸に鍵のストローク位置をとる。また、XRはレスト位置、XEはエンド位置を示しており、XMは鍵ストロークのレスト位置から鍵ストロークのエンド位置の中間位置を示す。なお、上向き矢印が押鍵軌道に対応し、下向き矢印が離鍵軌道に対応する。(a)は1群の軌道データ群であって、修正前のものを示し、(b)に修正後の軌道データ群を示している。

## 【0075】

図13は、第2実施例に係る再生処理の全体の流れを示すフローチャートである。前記図4に示す第1実施例に係る再生処理と同様な構成については、適宜その説明を省略する。図13に示す通り、第2実施例に係る再生処理においては、再生前処理部10が読み出した演奏情報を鍵別に抽出する処理(ステップS43)を行なうことで、前記図6に示すものと同様な鍵別打鍵イベントブロック記憶領域をRAM22上に作成する。モーションコントローラ11は、前記鍵別打鍵イベントブロック記憶領域から順次打鍵イベントを讀



み出して、該読み出した打鍵イベントに基づき軌道データ作成処理（ステップS44）を行なう。軌道データ作成処理自体は、前記図10に示す処理と同様であり、作成する等速軌道としては等速軌道を想定する。モーションコントローラ11において作成された軌道データは打鍵（押鍵と離鍵）発生順に鍵別軌道データブロック記憶領域に書き込まれる。鍵別軌道データブロック記憶領域は、前記鍵別打鍵イベントブロック記憶領域と同じものであってよい。すなわち、軌道データ作成に使用した打鍵イベントの行に対して、当該作成した軌道データに基づくデータを上書きすればよい。そうして、ステップS45において、前記作成された軌道データについて「鍵軌道データ群区切り」処理を行なうところが前記図4の処理とは異なる。そして、以下、前記図4の処理と同様に、軌道データをサーボコントローラ12に供給して、軌道データ毎に鍵1の駆動を行い（ステップS46、S47及びS48）、1曲分の演奏情報が終るまで上記を繰り返す。

【0076】

図14は前記鍵別軌道データブロック記憶領域の構成例を示す図である。鍵別軌道データブロック記憶領域の構成の概要は第1実施例の鍵別打鍵イベントブロック記憶領域と同様であり、「K」と変数「i」についても既述と同様である。なお、第2実施例では処理対象とするデータは軌道データであり「イベント」データではないが、本明細書においては1回の打鍵の発生を「イベント」と捉えて差し支えない。即ち、変数iは上記と同様に当該鍵について打鍵イベントの順番を示す打鍵イベント番号（打鍵番号）である。

【0077】

図14に示す鍵別軌道データブロック記憶領域においては、或る1つの鍵について軌道データに基づく物理量を下記の通り既述する。変数「VPi」は、或る1つの鍵に着目した場合に、曲頭からi番目に到来する打鍵の押鍵速度Vrに対応し、ミリメートル毎秒単位で記述された物理量のデータである。また、変数「VNi」は、或る1つの鍵に着目した場合に、曲頭からi番目に到来する打鍵の離鍵速度VrNに対応し、ミリメートル毎秒単位で記述された物理量のデータである。また、変数「TPi」は、前記図12に示す通り、或る打鍵番号iに対して直前の打鍵番号(i-1)の離鍵軌道が中央位置XMを通過する時刻から当該打鍵番号iの押鍵軌道のエンド位置XE到着時刻までの時間差をミリ秒単位で記述したデータである。また、変数「TNi」は、前記図12に示す通り、或る打鍵番号iの押鍵軌道のエンド位置XE到着時刻から同打鍵番号iの離鍵軌道の中央位置XM通過時刻までの時間差をミリ秒単位で記述したデータである。

【0078】

モーションコントローラ11は、前記ステップS44において作成した軌道データ（押鍵軌道と離鍵軌道）に基づき、上記「VPi」、「VNi」、「TPi」及び「TNi」の各物理量のデータを求め、当該鍵についての鍵別軌道データブロック記憶領域における打鍵番号iの行に、該各物理量のデータをそれぞれ書き込む。

【0079】

図15は、前記ステップS45における「軌道データ群区切り」処理の手順の一例を示すフローチャートである。この処理の大略は前記第1実施例の図7に示す「軌道データ群区切り」処理と同様である。すなわち、ノート番号K=1にセットして、処理対象となる鍵をノート番号K=1に対応する鍵に設定し、打鍵番号の変数i=1にセットして、変数iを初期化する（ステップS51、S52）。ステップS53において、現在の変数iを変数Iにセットして、確定すべき「軌道データ群」の先頭の打鍵番号iを定義し、ステップS54において、該確定すべき「軌道データ群」内での群内打鍵番号を表す変数jに「i-I」をセットする。

【0080】

ステップS55において、当該ノート番号Kについての鍵別軌道データブロック記憶領域（図14参照）から、前記ステップS54でセットした群内番号jの離鍵速度データ「VNi」を読み出して、変数VNにセットする。ステップS56において、現在の打鍵番号iの値をインクリメント(i+1)して、該現在の打鍵番号iに後続する打鍵番号(i+1)を新規打鍵番号iにセットする。ステップS57では、当該ノート番号Kについて

の鍵別軌道データブロック記憶領域（図14参照）から、前記ステップS56でセットした打鍵番号*i*の時間差データ「TP*i*」を読み出して、変数TPにセットする。前記セットされた「TP*i*」は前記VNにセットされた離鍵速度データVN*j*の離鍵軌道が中央位置XMを通過する時刻から当該打鍵番号*i*の押鍵軌道のエンド位置XE到着時刻までの時間差である。

【0081】

ステップS58では、「TP - 10/VN\*1000」で求まる時間値（ミリ秒単位）が100ミリ秒以上かどうかを調べることで、打鍵番号*j*の離鍵による鍵のレスト位置XRへの戻り後の待機時間（後続打鍵番号*i*の押鍵開始までの間隔）が100ミリ秒以上開いているかどうかを判定する。100ミリ秒以内であれば（ステップS58のno）、直前の群内打鍵番号*j*と打鍵番号*i*とを同じ軌道データ群内に属する打鍵軌道と判断して、ステップS54に戻り、現在の打鍵番号*i*つまり群内番号（*j*+1）を、新規の群内番号*j*にセットして、以下、ステップS55～S58により上記と同様な処理を行なう。

10

【0082】

一方、離鍵レスト位置XR戻り後の待機時間が100ミリ秒以上開いている場合（ステップS58のyes）は、直前の群内打鍵番号*j*と現在の打鍵番号*i*とは別の軌道データ群内に属する打鍵軌道と判断して、打鍵番号Iから打鍵番号*j*までを区切りとして、この区切りに含まれる全ての軌道データを1群の「軌道データ群」として確定する。そして、ステップS59において前記確定した軌道データ群に対して「修正処理」のサブルーチンを行なう。なお、当該打鍵番号*i* = M、すなわち、当該曲中の当該鍵の最後の打鍵の場合も、ステップS22をyesに分岐して、鍵軌道データ群を区切る。

20

【0083】

以下、当該鍵について順次新たな鍵軌道データ群を確定してゆき、当該楽曲の終端まで行なったら、別の鍵について鍵軌道データ群の確定を行なうことで、これを88鍵の全てに行なう（ステップS60～S62）。

【0084】

図16は、前記ステップS59に示す軌道データ群に対する「修正処理」の手順の一例を示すフローチャートである。処理対象となる軌道データ群の打鍵番号*i*は*i* = [I ~ I + N]であり、これは群内番号*j* [0 ~ N]に対応する。この処理において変数Jは、既述と同様に、現時点の群内番号*j*の値がセットされ、当該打鍵群内の打鍵数（正確には打鍵数 - 1）を表す。また、当該軌道データ群内の打鍵数が1つ（つまり単打）の場合には、以下の処理を行なわないようにしている（ステップS63, S64）。この実施例においては、当該軌道データ群内の各軌道データ修正の一具体例として、ステップS65～S68により、押鍵速度と離鍵軌道は幾何平均（相乗平均）により、また、時間差TP*i*と時間差TN*i*は算術平均（相加平均）により、各物理量毎に値を揃えるものとする。

30

【0085】

ステップS65では、下記の式（8）により、当該軌道データ群内の全ての押鍵速度VP*i*を幾何平均化することで、軌道データ群内の押鍵速度幾何平均値VPavを得る。なお、式（8）において群内番号の変数*j*は「0」から「J」である。

【数5】

$$VPav = \left\{ \prod_{j=0}^J (VP_j) \right\}^{1/(J+1)} \quad \dots \text{式 (8)}$$

40

【0086】

ステップS66では、下記の式（9）により、当該軌道データ群内の全ての離鍵速度VN*i*を幾何平均化することで、軌道データ群内の離鍵速度幾何平均値VNavを得る。なお、式（9）において群内番号の変数*j*は「0」から「J」である。

【数 6】

$$VNav = \left\{ \prod_{j=0}^J (VNj) \right\}^{1/(J+1)} \quad \dots \text{式 (9)}$$

【0087】

ステップ S 6 7 では、下記の式 (10) により、当該軌道データ群内における押鍵時の時間差 TPi を平均化することで、軌道データ群内の押鍵動き出しまでの時間の平均値 TPav を得る。なお、式 (10) において群内番号の変数 j は「1」から「J」である。これにより、当該軌道データ群内の先頭打鍵の押鍵タイミングを修正せずに保持する。従って、直前軌道データ群の末尾から当該軌道データ群の先頭までの相互間隔には影響を与えない。 10

【数 7】

$$TPav = \sum_{j=1}^J (TPj) / (J) \quad \dots \text{式 (10)}$$

【0088】

ステップ S 6 8 では、下記の式 (11) により、当該軌道データ群内における離鍵時の時間差 TNi を平均化することで、軌道データ群内の離鍵動き出しまでの時間の平均値 TNav を得る。なお、式 (4) において群内番号お変数 j は「0」から「J - 1」である。これにより、当該軌道データ群内の末尾打鍵の離鍵タイミングを修正せずに保持する。従って、当該軌道データ群の末尾から後続軌道データ群の先頭までの相互間隔には影響を与えない。 20

【数 8】

$$TNav = \sum_{j=0}^{J-1} (TNj) / (J) \quad \dots \text{式 (11)}$$

【0089】

上記ステップ S 6 5 ~ S 6 8 の処理による各修正結果は軌道データブロック記憶領域の対応する欄に上書きされる。この修正処理による修正結果は図 1 2 (b) に示す通りであり、その平均化 (幾何平均と算術平均) 範囲は図 1 2 (b) において矢印 B で示す範囲となる。図 1 2 において (a) に示す元の軌道データ群に含まれる打鍵の楽音要素 (押鍵速度、押鍵タイミング、離鍵速度、離鍵タイミング、押鍵深さ、離鍵戻し量等) のバラツキが、(b) に示す通り均一化されるので、安定した連打打鍵の軌道データ群をサーボコントローラ 1 2 に供給できるようになる。 30

【0090】

従って、以上説明した第 2 実施例においても、同一鍵について複数の打鍵の相互間隔が近接する (離鍵のレスト位置戻りから 100 msec 以内に後続打鍵が始まる) 場合には連続する軌道データ群として捉え、該軌道データ群内の楽音要素の不揃いを揃えることで、連打演奏内の急激な楽音要素の変化を無くし、安定した連打打鍵用の軌道データを供給できるようになり、再生の難しい連打打鍵など、自動演奏ピアノが再生不得手な演奏も、比較的安定して再生できるようになる。また、記録状態の不安定 (楽音要素にバラツキの多い) な連打演奏や記録精度の悪い演奏情報の再生を行なう場合や、再生を行う自動演奏ピアノの動作確動作が悪い場合でも、安定した再生動作を行なうことができるようになる。 40

【0091】

なお、上記第 1 実施例及び第 2 実施例において、図 7 に示す打鍵イベント群の区切り又は図 1 5 に示す軌道データ群区切りの判断は、図 7 においては先行打鍵イベント末尾からの時間間隔 (500 msec 以上か?)、また、図 1 5 においては離鍵レスト戻り後の待機時間 (100 msec 以上か?) をそれぞれ基準としたが、双方とも判断の基準として用いる時間設定は一例であって、これに限定されない。また、判断基準の変更例として、打鍵イベ 50

ント群又は軌道データ群の先頭からの時間経過（例えば2秒経過後等）に応じて当該群を区切るようにしたり、或いは、該先頭からの打鍵数（例えば10打鍵経過後等）に応じて当該群を区切るようにしたりしてもよい。また、1つの打鍵イベントにおけるノートオンとノートオフ間の時間間隔 $t_{ni}$ （例えば1秒以上経過したか？等）に応じて打鍵イベント群を区切ってもよく、軌道データの場合にはノートオンとノートオフ間の間隔に準ずる適宜の時間間隔を基準にすればよい。また、ベロシティ値の違いの大きさを基準にしてもよい。例えば、或るノートオンベロシティ値 $v_{pi}$ と後続する打鍵イベントのノートオンベロシティ値 $v_{p(i+1)}$ の差が32（MIDI値）より大きい場合とか、或るノートオンベロシティ値 $v_{pi}$ とこれに続くノートオフベロシティ値 $v_{ni}$ の差が16（MIDI値）より大きい場合等に異なる打鍵イベント群と判断するようにしてもよく、押鍵速度・離鍵速度についても同種の基準で軌道データ群の判断をしよう。また、上記の各種判断基準を適宜組み合わせても良い。また、軌道データ群の場合は、更に、或る打鍵について、押鍵軌道と離鍵軌道の軌道交差や、交差しない場合であっても押鍵軌道と離鍵軌道の相互間隔（エンド位置での待機時間100msec以内等、或いは、離鍵軌道と押鍵軌道の相互間隔（レスト位置での待機時間100msec以内等）を条件に、軌道データ群の判断をしてもよい。

10

#### 【0092】

また、上記第2実施例において、図14の鍵別軌道データブロック記憶領域の時間差 $TP_i$ 、 $TN_i$ は上記説明した変数に限らず、先行軌道の到着時刻から当該軌道の出発時刻までの時間差を設定してもよい。

20

#### 【0093】

また、図8又は図16に示す修正処理においては、上記各実施例に示した群内の各楽音要素のデータ（打弦タイミング $[t_{pi}, TP_i]$ に対応]、打弦速度 $[v_{pi}, VP_i]$ に対応]、止音タイミング $[t_{ni}, TN_i]$ に対応]、止音速度 $[v_{ni}, VN_i]$ に対応]）の平均を求める処理例に限らず、処理対象の打鍵イベント群又は軌道データ群内の打鍵イベント乃至打鍵について平均打鍵周波数（つまり連打打鍵の周期の速さ）を求めるような変形例が可能である。この場合、平均打鍵周波数が装置性能の限界を越える場合に、平均打鍵周波数を該装置性能の限界値（例えば、アップライトピアノ型装置であれば8Hz等）にクリップさせることで、当該連打打鍵を当該装置にて再生可能な連打打鍵に修正することができる。この修正に際して、打鍵イベント群内に納まらない打鍵イベントが生じた場合には、これを削除して他の打鍵イベントを平均化するなど適宜の補正を行なうとよい。なお、この修正についても当該打鍵イベント群の先頭のノートオン発生タイミングと、当該打鍵イベント群の末尾のノートオフ発生タイミングを修正しないようにするとよい。

30

#### 【0094】

また、図8又は図16に示す修正処理の別の変形例としては、処理対象の打鍵イベント群又は軌道データ群内の各楽音要素のデータの回帰直線或いは回帰曲線を求め、求めた回帰直線或いは回帰曲線に沿って各楽音要素を修正することができる。なお、図9(c)には打鍵イベント群内の各楽音要素をそれぞれ回帰直線に沿って修正した例をに示し、また、図12(c)には軌道データ群内の各楽音要素をそれぞれ回帰直線に沿って修正した例をに示す。図9(c)及び図12(c)に示す通り回帰直線に沿って楽音要素を修正することで、群内の各楽音要素の変化傾向に合わせた修正を行なうことができる。例えば、図9(c)の例では、ベロシティが徐々に増大し、各イベント間の時間間隔が狭まって行く。このように、回帰直線或いは回帰曲線による修正を行なうことで、元の演奏情報が持つ音楽的特質を残しておくことができる。

40

#### 【0095】

更に、修正処理の別の変形例として、処理対象の打鍵イベント群又は軌道データ群内の各楽音要素のデータの標準偏差を求め、求めた標準偏差を保ちつつ各楽音要素に任意の補正（例えば乱数によりベロシティに揺らぎを作る等）することができる。これにより、修正後の演奏情報（打鍵イベント）に対して更なる音楽的特質を与えることも可能である。

50

また、鍵軌道データ群の修正処理においては、更なる変形例として、群内の各楽音要素に基づき軌道データを等速軌道から、等加速度軌道、等躍動軌道等の組み合わせに変更したり、押鍵深さや離鍵戻り量の修正などを施すようにしても良い。また、打鍵イベント群の修正処理においても、群内の各楽音要素に基づき、当該打鍵イベントに基づき作成されるべき軌道種類が決定されるようにしてもよい。

【0096】

また、上記に挙げた修正処理の変形例を適宜に組み合わせても良いし、ユーザが修正メニュー等から所望の修正内容を選択できてよい。

【0097】

また、図8又は図16に示す修正処理において、修正対象となる各楽音要素（打弦タイミング、打弦速度、止音タイミング、止音速度、更には軌道種類等）をユーザ選択できてもよい。また、修正対象となる各楽音要素に優先順位を設定し、元のデータの特徴を尊重する度合いを任意に調整できてもよい。

【0098】

また、上記第1実施例及び第2実施例において、再生対象の演奏情報を収録した装置の種類（例えば、グランドピアノ型の装置、アップライトピアノ型の装置、或いは、その他の電子楽器等、と言った装置の種類）を判断する処理を更に行なうようにし、自機とは異なる種類の装置で収録した演奏情報について、前記図8又は前記図16に示す修正処理を実行するようにしてもよい。この場合、例えば、演奏情報のヘッダー部に収録装置のID情報を記録しておくと共に、再生装置（自機）では自機の装置種類を自機ID情報により認識できるようにしておき、図4のステップS3又は図13のステップS42における演奏情報の読み出しに先立って、装置種類判断を行なうようにすればよい。これによれば、例えば、自機とは異なる種類の装置で収録された演奏情報に含まれる自機で不得手な演奏についても、自機の再生能力に適したデータに修正して、良好な再生を行なうことが可能である。

【0099】

また、更に別の実施形態として、前記図8又は前記図16に示す修正処理を実行するかどうかを、ユーザの選択操作に応じて任意に設定できてもよい。

【0100】

また、上記実施例においては、図4のステップS4又は図12のステップS43の「鍵毎の打鍵イベント抽出」において、再生対象の演奏情報を1曲分RAM22にロードしてから処理する構成、つまり、外部からの演奏情報の読み込みに対して非リアルタイムで処理する構成を想定している。この処理構成について変更例としては、再生対象の演奏情報を1曲分を完全にRAM22にロードしてから、他の処理を開始する構成に限らず、ある程度纏まった量のMIDIイベント（例えば演奏時間にして数秒分程度のイベント）をロードしたら、演奏情報のロードに並行して他の処理を行なうようにしても差し支えない。

また、非リアルタイム処理に限らず、ある程度纏まった量のMIDIイベントをバッファしうよう適宜のバッファ時間（例えば500 msec程度の遅延時間）を設けることで、該バッファ時間内のリアルタイム処理は可能である。

【0101】

なお、上記実施例においては、図3に示す通り、演奏情報が、ノートオンイベントにおいて127段階で記述されたノートンペロシティ値と、ノートオフイベントにおいて128段階で記述されたノートオフペロシティ値とを個別に持つものとし、該ノートオンイベントに対応して押鍵起動が生成され、該ノートオフイベントに対応して離鍵起動が生成される例について説明したが、これに限らず、ノートンペロシティ値の特定の1つの値（典型的にはMIDI値=0）をノートオフイベントとして扱う場合も、この発明を適用可能である。この場合は、当該ノートオフイベントに対応するノートオンペロシティ値（MIDI値=1~127）に基づきノートオフペロシティ値を推測して離鍵軌道を作成し、この発明に係る打鍵イベント群（軌道データ群）の区切り処理や打鍵イベント毎の修正処理等を行なうようにしてよい。

## 【0102】

また、上記図11に示すサーボコントローラ12のサーボ制御構成は一例であって、サーボ制御の適用例は、フィードバック制御する物理量（位置、速度、加速度等）の種類及びその組み合わせ、或いは、各物理量の重み付けゲインの調整やバイアス電流の付加等、種々の要素によって多様である。すなわち、サーボコントローラ12のサーボ制御構成は従来から知られるどのような構成を適用しても差し支えない。

## 【0103】

なお、上記実施例においては、この実施例に係る自動演奏ピアノをアコースティックピアノによって構成する例について説明したが、これに限らず、自動演奏機能を持たせた電子ピアノなど、鍵を自動的に動かす機構を備えた電子鍵盤楽器に対して、この発明を適用してもよい。

10

また、この発明はハードウェア装置により構成されてもよいし、コンピュータにおいて本発明の動作を実行させるためのソフトウェアプログラム、或いは、DSPに本発明の動作を実行させるためのマイクロプログラムによって構成されてもよい。

## 【図面の簡単な説明】

## 【0104】

【図1】この発明の一実施例に係る自動演奏ピアノの全体構成を示す図。

【図2】同実施例に係る自動演奏ピアノの電氣的ハードウェア構成を示すブロック図。

【図3】同実施例に係る自動演奏ピアノに供給される演奏情報の構成例を示す。

【図4】同実施例の第1実施例に係る自動演奏ピアノにおける再生動作の手順の一例を示すフローチャート。

20

【図5】同実施例に係る鍵毎の打鍵イベント抽出処理の手順の一例を示すフローチャート。

【図6】同実施例に係る鍵別打鍵イベントブロック記憶領域の構成例を示す図。

【図7】同実施例に係る打鍵イベント群区切り処理の手順の一例を示すフローチャート。

【図8】同実施例に係る打鍵イベント群の修正処理の手順の一例を示すフローチャート。

【図9】同実施例に係る打鍵イベント群の修正処理を模式的に示す図であって、(a)は修正前、(b)は修正後をそれぞれ示す。また、(c)は別の修正例を示す。

【図10】同実施例に係る軌道データ作成処理の手順の一例を示すフローチャート。

【図11】同実施例に係るサーボ制御構成例を示すブロック図。

30

【図12】この発明の別の実施例（第2実施例）に係る軌道データ群の修正処理を模式的に示す図であって、(a)は修正前、(b)は修正後をそれぞれ示す。また、(c)は別の修正例を示す。

【図13】同別の実施例に係る再生動作の手順の一例を示すフローチャート。

【図14】同別の実施例に係る鍵別軌道データブロック記憶領域の構成例を示す図。

【図15】同別の実施例に係る軌道データ群区切り処理の手順の一例を示すフローチャート。

【図16】同別の実施例に係る軌道データ群の修正処理のの手順の一例を示すフローチャート。

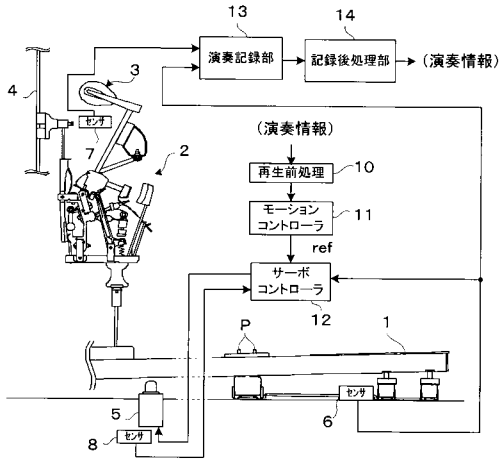
## 【符号の説明】

40

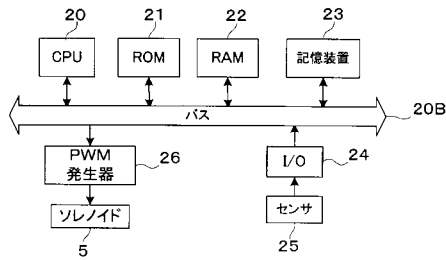
## 【0105】

1 鍵、2 アクション機構、3 ハンマ、4 弦、5 電磁ソレノイド、6 キーセンサ、7 ハンマセンサ、8 プランジャセンサ、10 再生前処理部、11 モーションコントローラ、12 サーボコントローラ、13 演奏記録部、14 記録後処理部、20 CPU、21 ROM、22 RAM、23 記憶装置

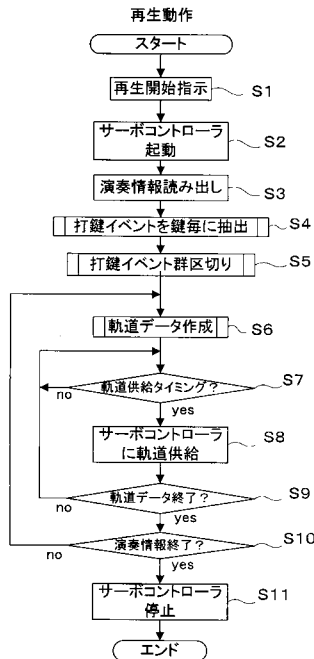
【図1】



【図2】



【図4】



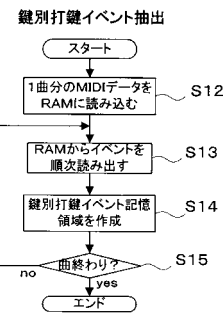
【図3】

演奏情報の構成

デルタタイム	[tt]
ノートオンイベント	[9n kk vv]
デルタタイム	[tt]
ノートオンイベント	[9n kk vv]
デルタタイム	[tt]
ノートオフイベント	[8n kk vv]
デルタタイム	[tt]
ノートオフイベント	[8n kk vv]
⋮	

ノートオンイベント  
[9n kk vv] n:チャンネル kk:ノート番号 vv:ベロシティ  
ノートオフイベント  
[8n kk vv] n:チャンネル kk:ノート番号 vv:ベロシティ  
デルタタイム  
[tt] tt:前後イベント間の経過時間

【図5】



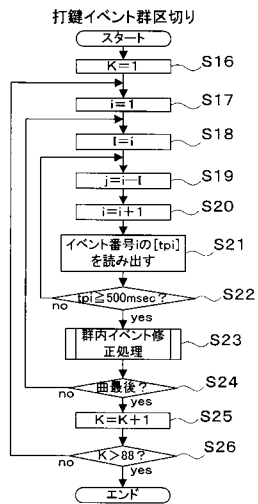
【図6】

鍵別打鍵イベント記憶領域の構成

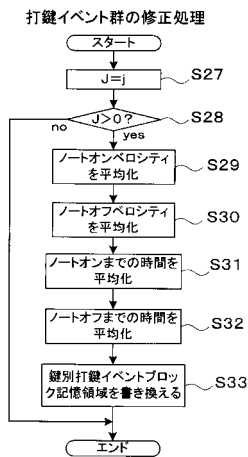
K=1, i=1~M				
tp1	vp1	tn1	vn1	←1つの打鍵
tp2	vp2	tn2	vn2	
⋮	⋮	⋮	⋮	
tpi	vpi	tni	vni	
⋮	⋮	⋮	⋮	
tpM	vpM	tnM	vnM	

以下K=2~88まで、内部構造は同様

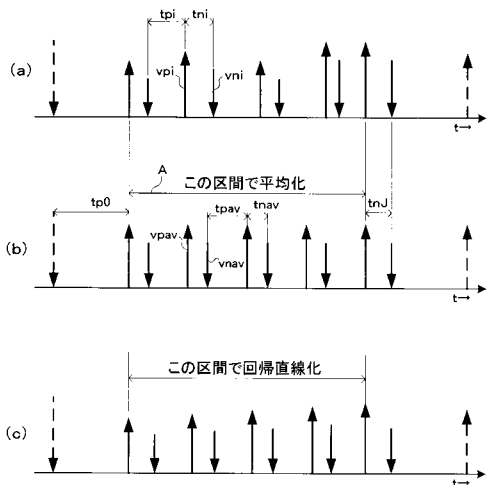
【 図 7 】



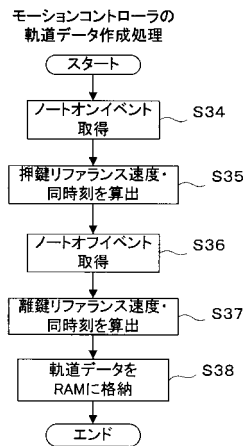
【 図 8 】



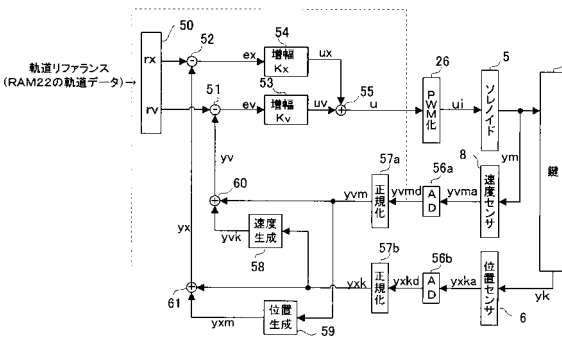
【 図 9 】



【 図 10 】

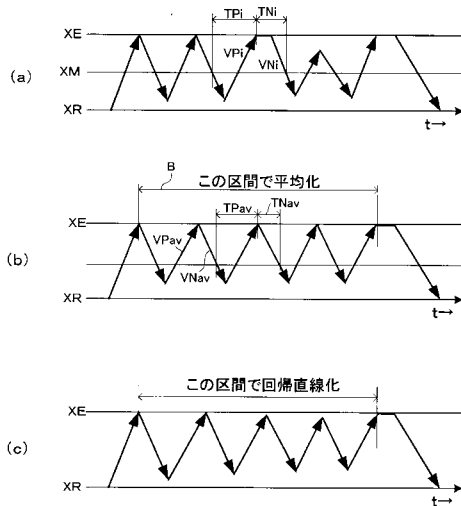


【 図 11 】

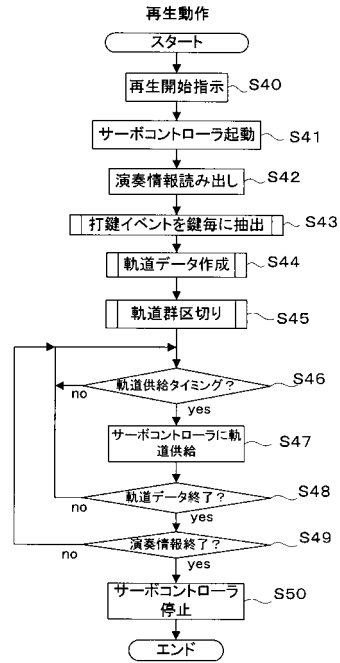




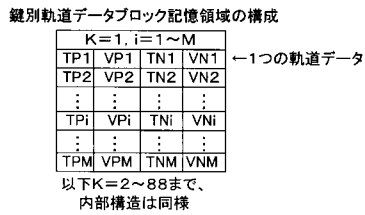
【 図 1 2 】



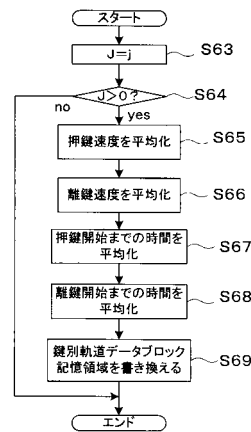
【 図 1 3 】



【 図 1 4 】



【 図 1 6 】



【 図 1 5 】

